

# Solução aproximada do problema do caixeiro viajante utilizando enxame de partículas

Tiago Pinho da Silva\*

2016

## Introdução

O método de otimização enxame de partículas do inglês *particle swarm optimization* (PSO) foi originalmente proposto por Kennedy e Eberhart em 1995 (WANG L. HUANG; PANG, 2003; SHI Y.C. LIANG; WANG, 2007; SAHIN; DEVASIA, 2007) com intuito de otimizar soluções para problemas difíceis. Neste algoritmo um enxame de partículas é inicializado de forma aleatória (WANG L. HUANG; PANG, 2003). As partículas então se movem no espaço de busca com uma dada velocidade (SAHIN; DEVASIA, 2007). A localização de uma partícula em um determinado momento representa uma potencial solução, cuja aptidão é avaliada por uma função que será otimizada (SHI Y.C. LIANG; WANG, 2007; SAHIN; DEVASIA, 2007). Gerações subsequentes são geradas a partir de gerações de partículas anteriores. As partículas se movem no espaço de busca encontrando novas potenciais soluções e produzindo novas gerações, este processo continua até que um número de gerações seja alcançado ou a melhor partícula na população não possam mais ser melhorada (SAHIN; DEVASIA, 2007).

O comportamento do enxame é dado pelas seguintes equações:

$$v(t+1) = v(t) + \phi_1(x - x_p) + \phi_2(x - x_n) \quad (1)$$

$$x(t+1) = x(t) + v(t+1) \quad (2)$$

Nestas equações,  $v$  representa a velocidade da partícula,  $x$  é a posição, e  $\phi_1$  e  $\phi_2$  representam variáveis aleatórias que introduzem incerteza (SAHIN; DEVASIA, 2007). Os parâmetros  $\phi_1$  e  $\phi_2$  podem ser representados como constantes de aceleração  $c1$  e  $c2$  multiplicadas por uma função *random* (SAHIN; DEVASIA, 2007). O valor  $x_p$  representa a posição da partícula com o melhor

---

\*tiagopinhodsr@dc.ufscar.br

valor de aptidão até então. e o valor  $x_n$  representa a posição da partícula com melhor valor de aptidão globalmente. A Equação 1 pode ser estendida incluindo uma constante que representa o coeficiente de inercia no intervalo de zero à um. Este coeficiente foi introduzido para balancear as buscas locais e globais (SAHIN; DEVASIA, 2007).

$$v(t+1) = wv(t) + \phi_1(x - x_p) + \phi_2(x - x_n) \quad (3)$$

O problema do caixeiro viajante do inglês *travelling salesman problem* (TSP) é conhecido e comumente utilizado como *benchmark* por desenvolvedores em otimização combinatória (WANG L. HUANG; PANG, 2003). A descrição do TSP envolve um caminho de um vendedor que passa por todas as cidades apenas uma vez percorrendo a menor distância e finalmente chegando à cidade inicial. As cidades são representadas como vértices de um grafo e a distância entre duas cidade é representada pelo custo da aresta que as conecta. Este trabalho, implementa uma solução aproximada utilizando PSO para o TSP descrita por Wang L. Huang e Pang (2003) e Goldbarg, Souza e Goldbarg (2008) em SCILAB sobre o conjunto de dados *eil51* disponível na biblioteca TSPLIB (2016)

## PSO Discreto para o TSP

Goldbarg, Souza e Goldbarg (2008) descrevem um PSO discreto para encontrar uma solução aproximada ou ótima para o TSP. Segundo Goldbarg, Souza e Goldbarg (2008) as equações de velocidade Equação 1 e de movimento da partícula Equação 2 do PSO tradicional (WANG L. HUANG; PANG, 2003), não podem ser utilizadas como solução para o TSP, por serem exclusivamente para o domínio de dados contínuos. Sendo assim as equações 1 e 2 passam a ser as seguintes respectivamente:

$$v_p(t+1) = c_1v_1(x_p) \oplus c_2v_2(x_p, pbest_p) \oplus c_3v_3(x_p, gbest_p) \quad (4)$$

$$x_p = x_p \oplus v_p(t+1) \quad (5)$$

Na Equação 4 as funções  $v_1, v_2, v_3$  são meta-heurísticas que respectivamente move a partícula no seu próprio caminho, move a partícula em direção ao seu melhor local, move a partícula em direção ao melhor global. As constantes  $c_1, c_2, c_3$  são limitadoras de cada meta-heurística, sendo a probabilidade delas acontecerem. Após os cálculos de cada função  $v_i$  com probabilidade  $c_i$ , composições entre elas são feitas. Como meta-heurísticas para  $v_1, v_2, v_3$ , foram escolhidos respectivamente os algoritmos de inversão e *path-relinking* pois foram os que obtiveram os melhores resultados até então, além disso aplica-se

uma busca local após a função  $v_1$  removendo-se sub-caminhos que se intersectam tornando assim a convergência mais rápida. A seguir o algoritmo do PSO descrito por Goldbarg, Souza e Goldbarg (2008) é apresentado:

---

**Algoritmo 0.1:** *PSO-Discreto* (GOLDBARG; SOUZA; GOLDBARG, 2008)

---

```

1 início
2   /*Define as probabilidades para os movimentos das partículas*/
3    $pr_1 \leftarrow a_1$  /*Probabilidade de seguir seu próprio caminho*/
4    $pr_2 \leftarrow a_2$  /*Probabilidade de seguir seu melhor local*/
5    $pr_3 \leftarrow a_3$  /*Probabilidade de seguir seu melhor global*/
6   /* $a_1 + a_2 + a_3 = 1$  */
7   Inicialização aleatório da população de partículas;
8   enquanto um critério de parada não for satisfeito faça
9     para  $p = 1 : quantidadeParticulas$  faça
10       $value_p \leftarrow Fitness(x_p)$ 
11      se  $value(x_p) < value(pbest_p)$  então
12         $pbest_p = x_p$ 
13      fim
14      se  $value(x_p) < value(gbest_p)$  então
15         $gbest_p = x_p$ 
16      fim
17    fim
18    para  $p = 1 : quantidadeParticulas$  faça
19       $velocidade_p = definirVelocidade(pr1, pr2, pr3)$ 
20       $x_p = movimenta(x_p, velocidade_p)$ 
21    fim
22  fim
23 fim

```

---

No Algoritmo 0.1, as funções *definirVelocidade* e *movimenta* estão sendo chamadas em cada passo, entretanto de acordo com Goldbarg, Souza e Goldbarg (2008) as duas funções podem ser substituída pela função apresentada no Algoritmo 0.2

---

**Algoritmo 0.2:** *Movimenta-Particula* (GOLDBARG; SOUZA; GOLDBARG, 2008)

---

**Entrada:**  $x_p, pbest_p, gbest_p$

**Saída:**  $y_3$

1 **início**

2      $y_1 \leftarrow v_1(x_p)$

3      $y_1 \leftarrow removeIntersecc\tilde{o}es(y_1)$

4      $y_2 \leftarrow v_2(y_1, gbest_p)$

5      $y_3 \leftarrow v_3(y_2, pbest_p)$

6 **fim**

---

## Execução

Para executar o código em SCILAB basta executar o script *Main.sce*, as configurações de cada parâmetro é feita no arquivo *teste.csv*, após o término da execução os resultados são mostrados no arquivo *results.csv* e são plotadas as curvas de resultados por iteração da melhor execução de cada teste, ou seja a execução que obteve o menor caminho.

## Código

### Scripts

O código deste trabalho foi dividido em quatro scripts:

- **Main.sce:** responsável pela execução dos testes e cálculos da média dos melhores resultados de cada teste e do desvio padrão;
- **PSO.sce:** responsável pela execução do PSO;
- **UtilsPSO.sce:** possui todas as funções utilitárias para o funcionamento do PSO;
- **UtilsFiles.sce:** possui todas as funções utilitárias para a leitura dos conjuntos de dados.

### Funções

#### UtilsFiles.sce

- **LoadFile:** Carrega os dados do arquivo em variáveis, esta função recebe como parâmetro o nome do conjunto de dados e retorna um grafo representado por uma matriz de adjacência que possui as distancias entre cada cidade, uma matriz de coordenadas de cada cidade em um plano cartesiano, e a quantidade de cidades que o conjunto de dados possui;

- **CalculaDist:** Calcula o grafo baseado na matriz de coordenadas do conjunto de dados, recebe como parâmetro de entrada o nome do arquivo e retorna o grafo e a matriz de coordenadas.

#### PSO.sce

- **PSO:** responsável pela execução do PSO, recebe como entrada o nome do conjunto de dados a quantidade de partículas no enxame, a quantidade de iterações e as constantes de probabilidade  $c_1, c_2, c_3$ .

#### UtilsPSO.sce

- **Initialize:** inicializa a população inicial, os melhores locais e o melhor global;
- **MoveParticle:** esta função recebe como parâmetros de entrada as posições de partícula  $x_p, pbest_p, gbest_p$ , e as probabilidades  $pr_1, pr_2, pr_3$ , aplica o Algoritmo 0.2 e retorna a partícula movimentada;
- **Invertion:** Faz sucessivas inversões em uma dada partícula  $x_p$  com uma probabilidade  $pr_1$  dessas inversões serem feitas, além de sempre checar a aptidão das novas partículas geradas a fim de sempre manter a que possui melhor aptidão;
- **PathRelinking:** Faz sucessivas trocas em uma partícula  $x_p$ , afim de movimentá-la em direção à uma partícula  $x_{best}$ . Entretanto as trocas só são realizadas com base em uma probabilidade  $pr_2$  e se a aptidão do novo  $x_p$  melhorar;
- **Swap:** Faz sucessivas trocas em uma partícula  $x_p$  baseadas em uma sequência de trocas dadas como parâmetro;
- **Reverse:** Realiza um inversão em um sub-caminho de índices  $[i, j]$  de uma partícula  $x_p$ ;
- **OnSegment:** Verifica se um dado ponto  $r$  se encontra em uma reta limitada pelos pontos  $p$  e  $q$ ;
- **PointsOrientation:** Verifica a orientação de três pontos  $p, q, r$  se são colineares, ou estão em uma orientação horária ou anti-horária;
- **linesIntersect:** Verifica se duas linhas cada uma limitada respectivamente pelos pares de pontos  $p1, q1$ , e  $p2, q2$  se intersectam.
- **removeCrossovers:** Dado uma partícula, esta função verifica se existem sub-caminhos que se intersectam e então os remove fazendo uma inversão entre o segundo desse sub-caminho e o penúltimo.

## Resultados

Para os conjunto de testes, foram feitas alterações nas constantes de probabilidade e quantidade de partículas no enxame, afim de verificar o comportamento do algoritmo entre diferentes valores para cada constante e quantidade de partículas, foram feitos 10 testes cada um com 200 iterações no conjunto de dados eil51, que possui 51 cidades.

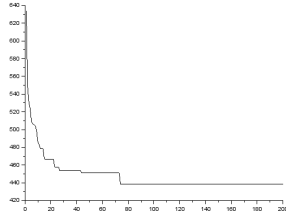
Tabela 1: Testes em constantes de probabilidade

Teste	Partículas	Iterações	$pr_1$	$pr_2$	$pr_3$	Stdev	Mean	Best	Erro%
1	20	200	0,2	0,4	0,4	5,09776	445,9152	438,419	4,674925
2	20	200	0,1	0,1	0,8	6,269657	445,3595	433,6888	4,544491
3	20	200	0,1	0,8	0,1	3,370082	445,5727	439,4765	4,594528
4	20	200	0,8	0,1	0,1	4,244361	445,7349	436,4129	4,632615

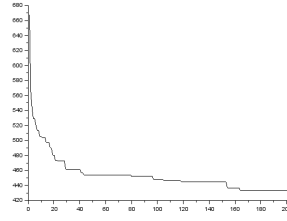
Tabela 2: Testes em quantiade de partículas

Teste	Partículas	Iterações	Pr1	Pr2	Pr3	Stdev	Mean	Best	Erro%
1	20	200	0,2	0,4	0,4	5,189795	443,3277	436,6862	4,06754
2	30	200	0,2	0,4	0,4	4,197978	444,5604	439,2558	4,356906
3	40	200	0,2	0,4	0,4	2,901483	442,8121	438,6253	3,946493
4	50	200	0,2	0,4	0,4	3,675375	443,4447	436,8808	4,095

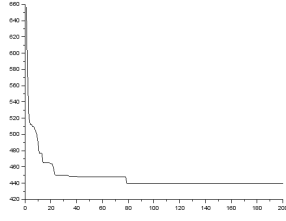
Através da Tabela 1 e Tabela 2 verificamos que apesar de muito pequenas as diferenças no erro e nas médias, houve uma certa diferença no desvio padrão para os testes que possuíam um valor de probabilidade maior para o  $pr_2$  e  $pr_1$  e quantidade de partículas maior. Entretanto não podemos dizer com certeza as causas desses comportamentos, visto que a quantidade de testes feitas não foi o suficiente para extrair algum resultado.



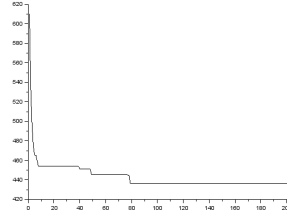
(a) Teste 1



(b) Teste 2

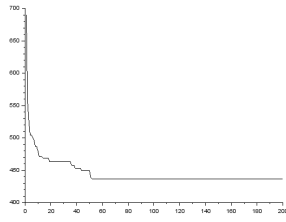


(c) Teste 3

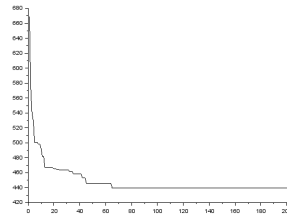


(d) Teste 4

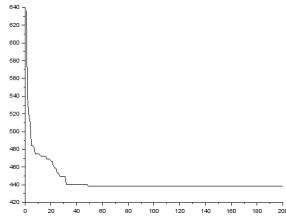
Figura 1: Melhores resultados para cada teste do conjunto de teste que modifica as varáveis de probabilidade



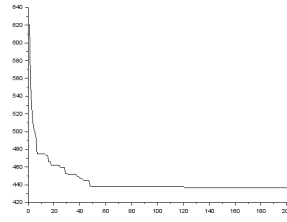
(a) Teste 1



(b) Teste 2



(c) Teste 3



(d) Teste 4

Figura 2: Melhores resultados para cada teste do conjunto de teste que modifica a quantidade de partículas

## Considerações Finais

O algoritmo implementado neste trabalho apresentou bons resultados e uma convergência próxima de 100 iterações para os testes em constantes Figura 1 e próxima de 50 iterações Figura 2, e conseguiu se aproximar aos resultados propostos neste trabalho. Como trabalho futuro poderá ser feita uma análise mais aprofundada do comportamento desse algoritmo através da mudança de parâmetros e das meta-heurísticas envolvidas no cálculo da velocidade.



## Referências

GOLDBARG, E. F.; SOUZA, G. R. de; GOLDBARG, M. C. *Particle swarm optimization algorithm for the traveling salesman problem*. [S.l.]: INTECH Open Access Publisher, 2008. Citado 3 vezes nas páginas 2, 3 e 4.

SAHIN, F.; DEVASIA, A. *Distributed Particle Swarm Optimization for Structural Bayesian Network Learning*. [S.l.]: 1-Tech Education and Publishing - Vienna, 2007. Citado 2 vezes nas páginas 1 e 2.

SHI Y.C. LIANG, H. L.-C. L. X.; WANG, Q. Particle swarm optimization-based algorithms for tsp and generalized tsp. *Information Processing Letters*, v. 103, p. 169–176, 2007. Citado na página 1.

TSPLIB. 2016. Wiki do abnTeX2. Disponível em: <<http://comopt.ifl.uni-heidelberg.de/software/TSPLIB95/>>. Acesso em: 05.10.2016. Citado na página 2.

WANG L. HUANG, C.-G. Z. K.-P.; PANG, W. Particle swarm optimization for traveling salesman problem. *International Conference on Machine Learning and Cybernetics*, p. 1583–1585, 2003. Citado 2 vezes nas páginas 1 e 2.